



Simulation numérique de la propagation d'ondes dans les sols par une méthode éléments finis Galerkin discontinue

Nathalie Glinsky

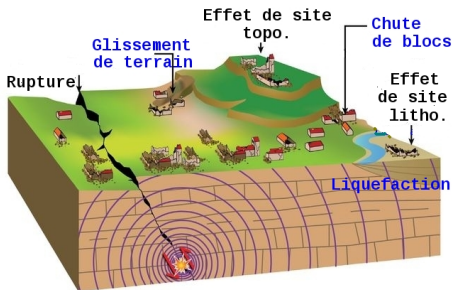
IFSTTAR/GERS/SV - CEREMA/DTerMed/LN/SRS - INRIA Sophia Antipolis Méditerranée/EPI Nachos

Jeudi 4 Juin 2015



Objectif général

- Simulation numérique de la propagation des ondes sismiques
- Problème direct, étude de l'aléa et des effets de site
 - ▷ rapports site/référence, amplification et fréquences concernées



- Méthodes numériques précises
 - ▷ milieux complexes
 - ▷ modèles de rhéologie (du plus simple au plus réaliste)

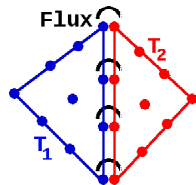
La méthode éléments finis Galerkin discontinue

- Reed and Hill (1973), problème de transport de neutron
- Equations de l'élastodynamique
 - ▷ ADER flux décentrés, Käser and Dumbser, *GJI* (2006)
 - ▷ Saute-mouton flux centrés, Delcourte, Fezoui and Glinsky, *ESAIM: Proc* (2009)
- Méthode de type **éléments finis**
 - ▷ Discrétisation du domaine en triangles/tétraèdres T (ou autre),
 - ▷ Approximation de \vec{W} , \vec{W}_h , via une interpolation de Lagrange (ou autre)
- Méthode **discontinue**

- ▷ Interpolation locale dans chaque cellule T_i ,
 $L_{ij} \in P_p(T_i)$, polynômes de degré p de T_i

$$\vec{W}_{h|T_i} = \vec{W}_i(x, y, t) = \sum_{j=1}^N \vec{W}_{ij}(t) L_{ij}(x, y),$$

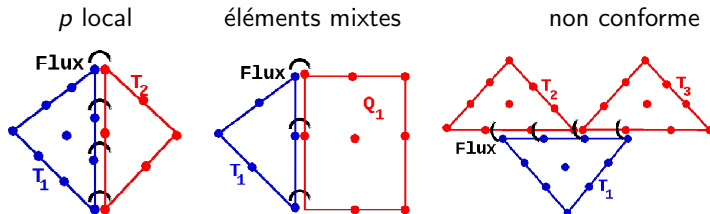
N degrés de liberté dans T_i , $N = \frac{(\rho+1)(\rho+2)}{2}$



- **Flux** aux interfaces

La méthode éléments finis Galerkin discontinue

- Avantages des méthodes GD
 - ▷ Ordre élevé en espace (matrices de masse locales, facilement inversibles)
 - ▷ Flexibilité (h - p adaptivité, maillages, pas de temps local)



- ▷ Adaptées aux plateformes de calcul parallèles

- Problèmes linéaires (en 2D)

$$\partial_t \vec{W} + A_x(\rho, \lambda, \mu) \partial_x \vec{W} + A_z(\rho, \lambda, \mu) \partial_z \vec{W} + B(\dots) \vec{W} = \vec{0}$$

- ▷ P1 à P5, flux centrés, schéma saute-mouton (standard, ordre 4)
- ▷ ρ , V_p et V_s constants par élément

PARTIE I

PRISE EN COMPTE DE L'ATTENUATION

APPLICATION A L'ETUDE DES EFFETS DE SITE A NICE

Extrait de :

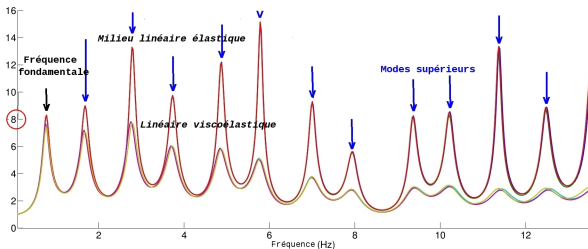
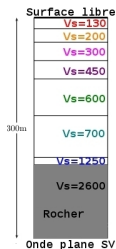
F. Peyrusse, N. Glinsky, C. Gélis and S. Lanteri [2014]

A nodal discontinuous Galerkin method for site effects assessment in viscoelastic media - verification and validation in the Nice basin,

Geophys. J. Int., **199**, 315-334.

Introduction de l'atténuation du milieu

- Hypothèse d'un milieu linéaire élastique non adaptée
- Fonctions de transfert (rapport spectral surface/référence)



- Remplacer la loi de Hooke entre contraintes et déformations

$$\sigma = \lambda \operatorname{tr}(\varepsilon) \operatorname{Id} + 2\mu\varepsilon, \quad \varepsilon = \frac{1}{2} \left(\frac{\partial u_i}{\partial x_j} + \frac{\partial u_j}{\partial x_i} \right)$$

par une relation décrivant l'histoire de la déformation jusqu'à t

$$\sigma_{ij}(t) = \int_{-\infty}^t \phi_{ijkl}(t - \tau) \partial_{\tau} \varepsilon_{kl}(\tau) d\tau,$$

ϕ tenseur des fonctions de relaxation

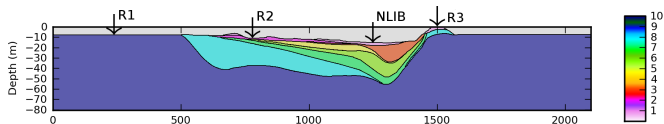
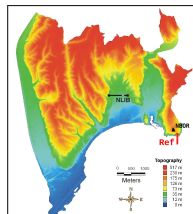
- Modèle de Maxwell généralisé (GMB, Emmerich & Korn, 1987)
- Relation σ - ε (convolution) \approx EDPs des fonctions anélastiques ξ^l
- L (3 à 8) fréquences de relaxation ω_l dans l'intervalle de fréquences, facteur de qualité Q constant, coefficients anélastiques Υ^l
- Equations (cas linéaire élastique $l = 0$)

$$\left\{ \begin{array}{l} \rho \partial_t v = \nabla \cdot \sigma, \\ \partial_t \sigma = \lambda (\nabla \cdot v) \text{Id} + \mu (\nabla v + \nabla v^T) - \sum_{l=1}^L (\lambda \Upsilon^{\lambda,l} \text{tr}(\xi^l) \text{Id} + 2\mu \Upsilon^{\mu,l} \xi^l), \\ \partial_t \xi^l = \omega_l (\nabla v + \nabla v^T) / 2 - \omega_l \xi^l, \quad l = 1, \dots, L. \end{array} \right.$$

- $\partial_t \vec{W} + A_x \partial_x \vec{W} + A_z \partial_z \vec{W} + B \vec{W} = \vec{0}$ avec $\vec{W} = (\vec{V}, \vec{\sigma}, \xi^1, \dots, \xi^L)^t$,
 $\vec{V} = (v_x, v_y)^t$, $\vec{\sigma} = (\sigma_{xx}, \sigma_{yy}, \sigma_{xy})^t$ and $\xi^l = (\xi_{xx}^l, \xi_{yy}^l, \xi_{xy}^l)^t$
- 3 L équations supplémentaires en 2D, 6 L en 3D

Application au bassin de Nice

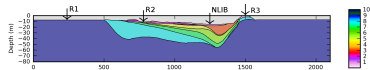
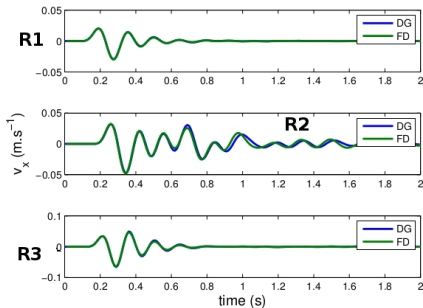
- Modèle de Nice (Bertrand *et al.*, 2007)
 - ▷ Topographie et milieu en profondeur, 10m de résolution
 - ▷ Bassin: $V_s \in [180;300]$ m/s, rocher : $V_s = 1000$ m/s
 - ▷ Pas de données sur Q , $Q_{P,S} = V_{p,s}/10$
- Coupe 2D, maillage non structuré, 107 707 triangles ($h=1\text{m}/4\text{m}$)
 - ▷ Milieu complexe \implies maillage fin \implies P1, $L = 3$ mécanismes
- Différences-finies (C. Gélis), $\Delta_{x,z} = 0.125\text{m}$, 10^6 points, $L = 8$



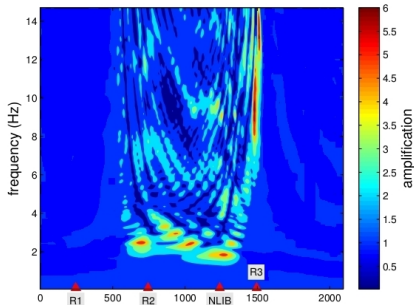
- Stations fictives R1, R2, R3 et NLIB (station du RAP)
- Onde plane SV verticale, $f_c = 6.0\text{Hz}$, $f_{max} = 12.0\text{ Hz}$

Application au bassin de Nice

- V_x en temps

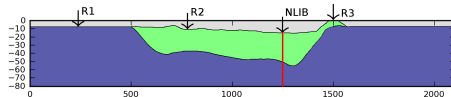
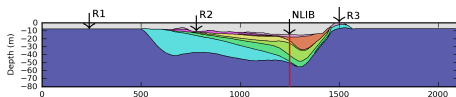


- En fréquence, $(V_x)_{surf} / (V_x)_{ref}$



Comparaisons 1D/2D, hétérogène/homogène en NLIB

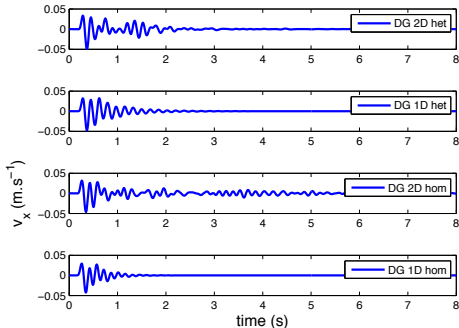
- Simulations sur 2 configurations 2D, 2 configurations 1D
 - ▷ Bassin initial et version homogène (géométrie de fond de bassin)
 - ▷ Colonnes 1D hétérogène et homogène (34 m épaisseur), ligne rouge
 - ▷ Pour le cas homogène, valeur moyenne $V_s = 300$ m/s



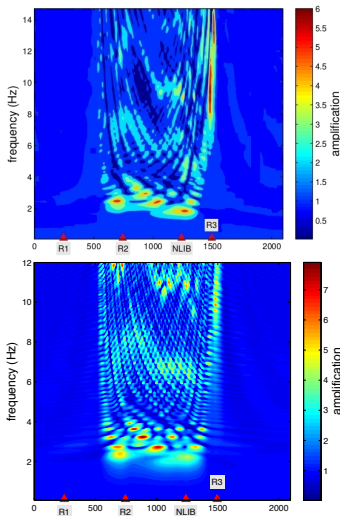
- Données réelles
 - ▷ étude sur les effets de site à Nice (stage M. Oyomo Olinga, 2007)
 - ▷ enregistrements en 6 stations du Réseau Accélérométrique Permanent
 - ▷ 14 séismes entre janv. 2000 et oct. 2006, magnitude 2.4 à 4.9
 - ▷ référence pour rapports spectraux, station NBOR

Comparaisons 1D/2D, hétérogène/homogène en NLIB

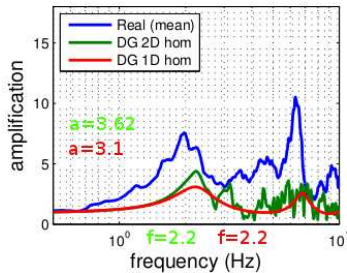
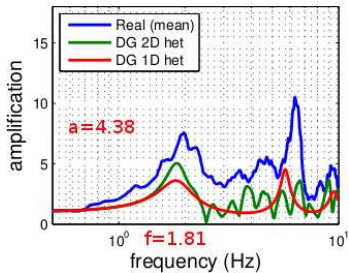
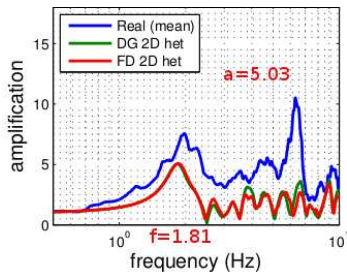
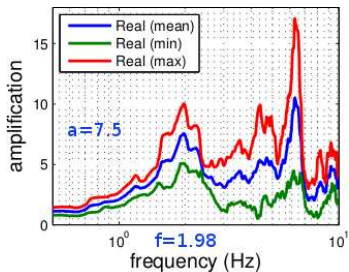
- V_x en temps, en NLIB



- En fréquence ($(V_x)_{\text{surf}} / (V_x)_{\text{ref}}$)



Comparaisons simulations / mesures en NLIB



PARTIE II

PRISE EN COMPTE PRECISE

DE MILIEUX HETEROGENES ARBITRAIRES

Extrait de :

D. Mercerat and N. Glinsky [2015]

A nodal high-order discontinuous Galerkin method for elastic wave propagation in arbitrary heterogeneous media
Geophys. J. Int., **201**, 1099-1116.

- Méthodes d'ordre élevé pour des maillages plus grossiers
- L'hypothèse de propriétés constantes par élément est une sévère limitation
 - ▷ milieu complexe \longrightarrow construction complexe du maillage
 - ▷ hétérogénéités de petites dimensions \longrightarrow maillages fins
 - ▷ schémas explicites en temps \longrightarrow petits pas de temps \longrightarrow temps de calcul élevé
- Objectifs : étendre avec peu de modifications la méthode GD
 - ▷ inclure des variations (gradient, saut) des propriétés du milieu à l'intérieur des éléments
 - ▷ meilleure approximation du milieu hétérogène (gradient),
 - ▷ construction du maillage facilitée (saut),
 - ▷ temps de calcul de la simulation réduit.

- Système vitesses-contraintes, milieu linéaire élastique

$$\partial_t \vec{W} + A_x(\rho, \lambda, \mu) \partial_x \vec{W} + A_z(\rho, \lambda, \mu) \partial_y \vec{W} = \vec{0},$$

- Eviter $\int_{T_i} L_i^t \partial_{x/z} A_{x/z} \vec{W} dV \Rightarrow \int_{T_i} L_i (\partial_{x/z} L)_j L_k dV$

(Castro et al., Geophys. J. Int., 182(1), 250-264, 2010)

- Changement de variables sur les contraintes

$$\vec{\sigma} = (\sigma_{xx}, \sigma_{yy}, \sigma_{xy})^t \rightarrow \vec{\tilde{\sigma}} = \left(\frac{1}{2}(\sigma_{xx} + \sigma_{yy}), \frac{1}{2}(\sigma_{xx} - \sigma_{yy}), \sigma_{xy} \right)^t$$

$$\vec{W} = (\vec{V}, \vec{\sigma})^t \rightarrow \vec{\tilde{W}} = (\vec{V}, \vec{\tilde{\sigma}})^t$$

- Système équivalent en $\vec{\tilde{W}}$

$$\Lambda(\rho, \lambda, \mu) \partial_t \vec{\tilde{W}} + \tilde{A}_x \partial_x \vec{\tilde{W}} + \tilde{A}_z \partial_z \vec{\tilde{W}} = \vec{0}.$$

- \tilde{A}_x et \tilde{A}_z constantes, $\Lambda(\rho, \lambda, \mu) = \text{diag} \left(\rho, \rho, \frac{1}{\lambda + \mu}, \frac{1}{\mu}, \frac{1}{\mu} \right)$
- Extension limitée au calcul de matrices de masse modifiée sur T_i

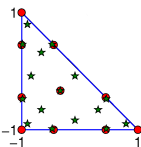
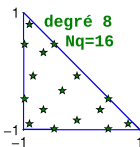
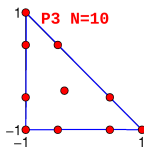
Méthode GD pour des milieux hétérogènes

- Matrices de masse modifiées

$$\int_{T_i} L_k^t \wedge \partial_t \vec{W} dV = \sum_{j=1}^N d_t \vec{W}(t) \int_{T_i} L_k^t \wedge L_j dV .$$

- Calcul des matrices de masse par des règles de quadratures
 - ▷ N_q points de quadratures et poids donnés par la librairie Dunavant
 - ▷ Précision des formules de Dunavant

N_q	6	12	16	25	33	42
Ordre	4	6	8	10	12	14

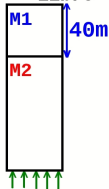


N_q est un paramètre

- Matrices calculées à l'étape d'initialisation
- Stockage de l'inverse de 3 matrices par triangle

Application à une couche superficielle

Surf. libre



	ρ kg/m ³	V_p m/s	V_s m/s
M1	1800	365	150
M2	2100	2450	1000

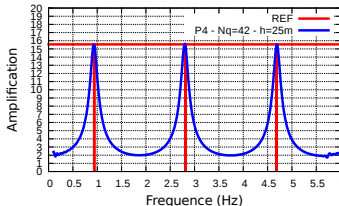
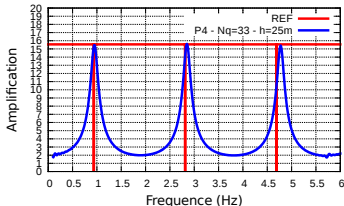
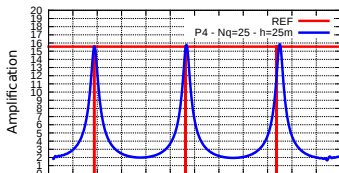
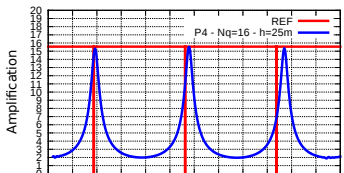
- Onde plane SV
 $f_c = 2\text{Hz}$, $f_{max} = 6\text{Hz}$
- $\text{Min}_\lambda \approx 25\text{m} \implies h$

- Solution exacte:

$$a = 2(\rho V_s)_{M2} / (\rho V_s)_{M1}$$

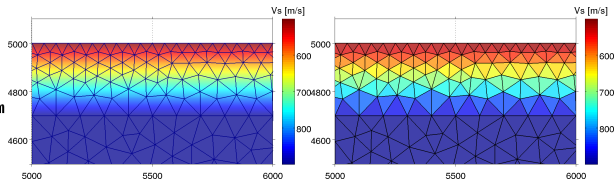
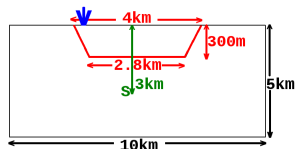
$$f_n = (2n - 1)V_s / (4H)$$

$h(\text{m})$		CPU(s)
5	P2	572
20	P4	326
25	P4	[230;236]



Source explosive dans un bassin trapézoïdal

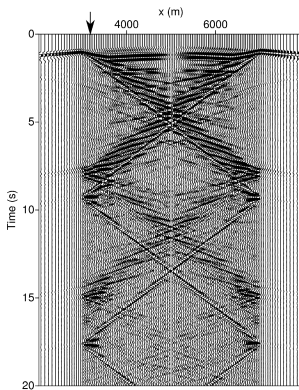
- Bassin de géométrie simplifiée
 - ▷ bassin : $\rho = 2000 \text{ kg/m}^3$, gradient $V_s \in [500, 900] \text{ m/s}$, $\nu = 0.25$
 - ▷ rocher: $\rho = 2600 \text{ kg/m}^3$, $V_s=2600 \text{ m/s}$, $\nu = 0.25$
 - ▷ rangée de capteurs surfaciques, en particulier en bord de bassin
- Source explosive à environ 3000m de profondeur
 - ▷ Ricker, $f_c = 4\text{Hz}$, $f_{max} = 10\text{Hz}$
 - ▷ $\text{Min}_\lambda \simeq 50\text{m}$
- Maillage contenant l'interface bassin/rocher
 - ▷ Maillage 5562 triangles, $h=50\text{m}$ en surface, $h=100\text{m}$ en fond de bassin
- Comparaisons Specfem (quadrangles)/DG (triangles)
- Comparaisons DG nouvelle approche/DG propriétés const./triangle



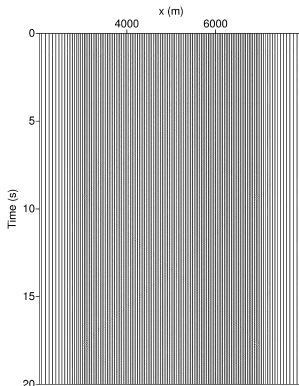
Source explosive dans un bassin trapézoïdal

- Le maillage suit l'interface bassin/rocher

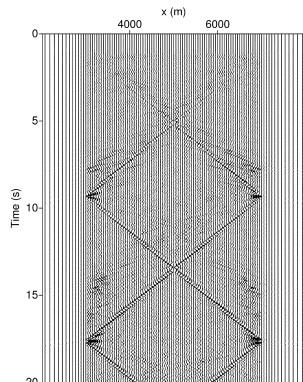
V_x



Différence SEM/DG
P5 Q33

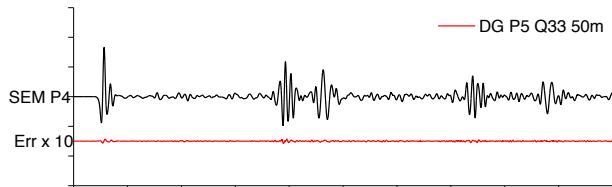


Différence SEM/DG
P5 const./triangle

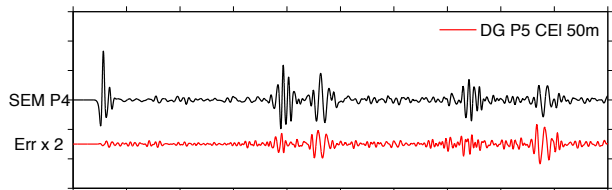


Source explosive dans un bassin trapézoïdal

- Le maillage suit l'interface bassin/rocher
- Zoom au capteur situé en bord de bassin



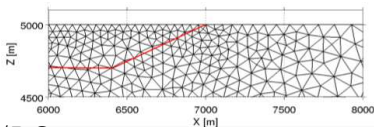
DG nouvelle méthode



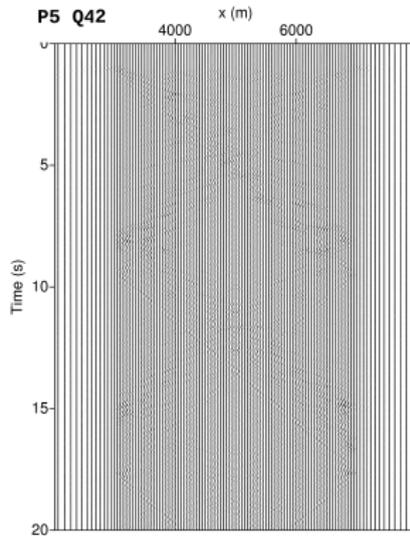
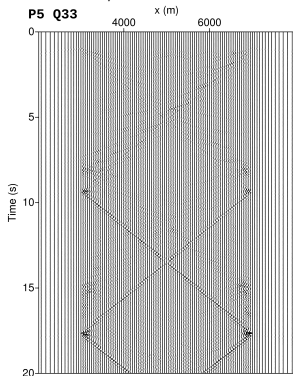
DG constant/triangle

Source explosive dans un bassin trapézoïdal

- Le maillage ne suit plus l'interface bassin/rocher



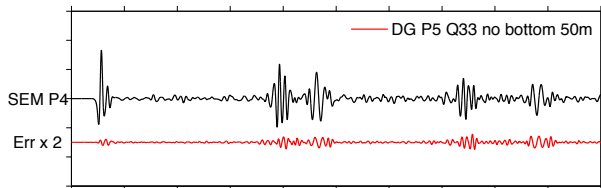
- Différences SEM/DG



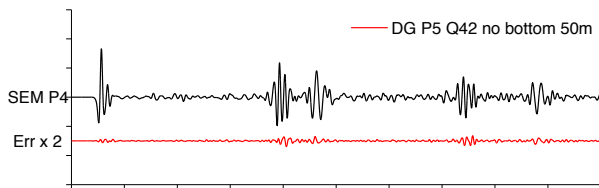
Source explosive dans un bassin trapézoïdal

- Le maillage ne suit plus l'interface bassin/rocher
- Zoom au capteur situé en bord de bassin

DG P5 $N_q = 33$



DG P5 $N_q = 42$



Merci de votre attention

Nathalie Glinsky
nathalie.glinsky@cerema.fr
Cerema DTerMed
Laboratoire de Nice
Service Risque Sismique
56 Bd Stalingrad
06359 Nice cedex 4